

太陽熱 暖房의 계절에 따른 에너지 貯藏

J. E. BRAUN, S. A. KEEIN and J. W. MITCHELL*

(Solar Energy, Vol. 26, pp. 403 ~ 411, 1981)

* * *
金 鐘 輔 譯

要 約

이論文은 물을 貯藏物質로 使用하는 空間暖房에 있어서의 seasonal storage의 몇가지 중요한 문제研究하고 있다. 集熱器面積과 貯藏體積 그리고 시스템性能間의 관계를 transient simulation program(TRNSYS)을 使用하여 조사하였다.

기서 seasonal storage의 가장 일어나기 쉬운 상태가 나타내어지는데 seasonal storage system의 특이에 특히 역점을 두고 있다. 이러한 설계방법은 몇일간에서 seasonal storage에 이르는 seasonal capacity(貯藏容量)에 대하여 적용되어진다. 費用과 관련하여 이러한 설계방법은 seasonal storage system 경제성(economic viability)을 추정하는데 유용할 것이다. 또한 시스템 설계에서 負荷 热傳導器의 크기 봉크斷熱集熱器 경사 매년 氣候變化의 중요성이 조사되고 있다.

序 論

太陽에너지를 이용하는 대부분의 경우에 있어서 사용가능한 太陽에너지와 필요한 에너지의 차이에 따른 분포의 차이가 존재하게 된다. 空間暖房 시스템에서 이러한 차이는 하루종과 계절적으로 그의 범위가 모두 다 중요한 문제이다. 短期貯藏은 항상 負荷를 받는 시스템의 능력이 그 매일 심하게 변하지 않도록 되어 있다. 반면 장기貯藏은 계절에 따른 氣候變化의 영향을 느끼어야 할 것이다. 겨울에 건물 暖房을 위하여 여름에 받아들인 太陽에너지를 貯藏할 수 있어 최초로 Speyer[1]에 의하여 시도되었다. 계절적 貯藏方法을 사용함으로써 集熱器의 費用을 다소 줄일 수 있다고 결론지었다.

그 이후 太陽熱 暖房에 관한 研究는 短期貯藏方法으로써 고려되어 왔다. 지금 단순화된 설계방법은 재래식 크기의 저장[2-5]를 使用하는 많은 시스템에 대하여 유용하다.

Speyer의 研究로 인하여豫想될 수 있는 太陽에너지 시스템의 상당한 향상이 있었다. TRNSYS [6]와 같은 상세한 Computer Program들은 가장 보편적으로 쓰이는 太陽에너지의 性能을 simulation하는데 유용하다.

本研究의 목적은 최근의 기술을 使用하는 空間暖房에 대한 seasonal storage을 再實驗하고 seasonal storage system의 설계방법을 개발하는 데 있다.

이論文은 세部分으로 나누어져 있는데 첫째는 研究의 대상이 되는 太陽熱 暖房시스템을 설

Solar Energy Laboratory, University of Wisconsin, Madison, WI 53706, U.S.A

* 仁荷大學校 機械工學科

명하고 그것의 性能을 simulation하고 계산하는 데 필요한 지식을 간단히 要約하고 있다.

둘째로는 集熱器面積, 貯藏, 體積 시스템性能의 상호관제가 TRNSYS를 사용하여 조사되고 가장 빈번히 일어나는 seasonal storage의 상태가 나타내어진다. 셋째로는 seasonal storage system의 설계를 다루고 있는데 몇일간 혹은 seasonal storage에 이르는 貯藏容量에 대하여 적용될 수 있는 설계방법이 要約되어진다. 그런데 이러한 간단한 절차는 TRNSYS에 대해 타당성이 있다. 따라서 이러한 설계방법은 시스템 설계에서 热交換器의 크기 텡크斷熱集熱器 경사 그리고 매년 氣候變化의 중요성을 研究하는 데 사용되고 있다.

2. 시스템 설명과 simulation 모델

本研究에서 고려된 sensible storage를 가진 空間暖房시스템의 계통도가 그림 1에 나타나 있다. storage에서 공급된 에너지가 暖房을 위한 처음의 热源이며 太陽热시스템이 要하는 室內温度를 유지할 수 없을 경우에는 附加的인 에너지가 재래식 補助 热源에 의해 供給된다. 이 章에서는 本研究에서 채택된 component model과 假定이 나타나 있다.

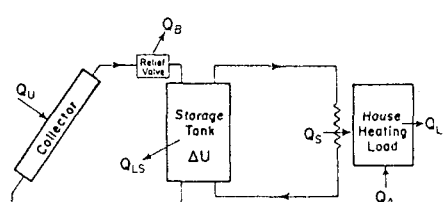


Fig. 1. Schematic of a space heating system

sensible storage 媒體는 완전히 혼합된 같은
 体積의 segment [6] N개로서 냉각기 구성되어
 있다고 假定함으로써 modeling 되었고 degree
 of convection & Nusselt number가 계산되었고

태크를 들어가는 流体는 溫度가 가장 가까운

segment를 찾는다고假定하고 segment들 사이의軸方向熱轉度現狀은 무시한다. 충분한 segment를假定함으로써 이假定으로 최대의 degree of stratification을 얻을 수 있다. $N = 1$ 이면 Storage는 완전히 혼합된 탱크이며 아득히 層狀效果도 없다. 시스템機能에서의 層狀效果는 3-1에서 조사된다.

Storage에 대한 附加的인 假定은 다음과 같

- (1) 貯藏容器는 땅 속에 묻힌 높이와 직경이 같은 수직 圓筒이다.
 - (2) 일년 平均 空氣溫度(즉, 땅 속온도)와 같은 温度(T_s)로 Starage 損失이 발생한다.
 - (3) 탱크는 斷熱이 잘 되어 있어서 어느 순간든지 땅을 통한 热流動은 정상상태(steady state)로 고려될 수 있다.

즉 탱크주위의 땅의 内部에너지 變化率은
상 損失率에 비하여 작다.

(4) 복합의 地面에 의한 斷熱效果는 時間에
라 크게 변하지 않는다.

완전히 혼합된 탱크에 대하여 热损失率은 1
음과 같다.

$$\dot{Q}_{LS} = (UA)_T (T_T - T_S) \dots \dots \dots (1)$$

여기서 $(UA)_T$ 는 热损失에 대한 constant overall conductance이고 T_T Storage의 温이다.

集熱器의 有效에너지 變化率 (\dot{Q}_u)은 Hot tel-Whillier 式 [7]에 의하여 구해진다.

$$\dot{Q}_u = F_R \cdot A_C (I_T(\tau\alpha) - U_L(T_i - T_a)) \dots \dots \dots (1)$$

여기서 A_c , U_L , $F_R(\tau\alpha)$ 는 각각 集熱器面積 全損失係數, 烫除去 效率係數 그리고 透率, 吸收率의 곱이다. 또한 T_i 와 T_a 는 入口出口의 温度이고 I_T 는 集熱器表面에 흡수된位面積當복사량이다.

本研究에서는 완전히 혼합된 탱크入口温度 대하여 集熱器가 Storage temperature와 같도록 하 위하여 파이프에서의 에너지 損失이 무시되었 集熱器의出口에 위치한 안전 밸브는出口 degree가 循環流体의沸騰點을 초과하지 못하도록

金鍾輔

요에 따라 에너지 (\dot{Q}_S)를 放出한다.

建物에서의 순간적인 에너지 平衡式은 다음과 같다.

$$cap_L \frac{dT_R}{dt} = \dot{Q}_S + \dot{Q}_A - \dot{Q}_L \quad \dots \dots \dots (3)$$

여기서 cap_L 은 效果的인 單一建物 capacitance이고 T_R 은 室內溫度, \dot{Q}_S 는 太陽에너지供率 \dot{Q}_A 는 補助에너지 追加供給率이고 \dot{Q}_L 은 物로부터의 暖房損失率이다. 實제로 室內溫度

補助暖房裝置가 필요한 최소온도 T_{RL} 과 太熱이 정지되는 곳에서의 最高溫度 T_{RH} 사이에 定義되는 “dead band” 내에서 變化한다. 可室內溫度모델은 建物內의 에너지 Storage의 향이 3~3節에서와 같이 液體 Storage가 아 경우에 대하여 使用된다. 本論文의 나머지 組에 대하여 항상 건물로부터 热損失率을 決하기 위해 暖房空間에 에너지 供給을 調節하理想的 調節器가假定된다. 이것은 室內溫度 항상 T_{RL} 에서 고정되어 있다는 것을 의미한다. 이 에너지率(energy rate) 調節方法은 주 간단하며 적당한 液體 Storage가 있을때 만스런 結果를 나타내었다.[8]

집으로부터 순간 热損失率은 다음과 같이 定된다.

$$\dot{Q}_L = (UA)_L (T_R - T_a) \quad \dots \dots \dots (4)$$

여기서 $(UA)_L$ 은 집으로부터 热流動에 대한 constant conductance이다.

負荷率 交換器에서 暖房空間으로 供給되는 에지 供給率은 아래와 같이 주어진다.

$$\dot{Q}_S = \epsilon C_{min} (T_b - T_R) \quad \dots \dots \dots (5)$$

여기서 ϵ 과 C_{min} 은 效率[9]와 최소교환기 apacitance 率이고 T_b 은 热交換器로 들어오는 口의 流体溫度이다.

시스템의 性能을 계산하기 위하여 年中 太陽에 의해 주어진 負荷率은

$$T = 1 - \frac{\int_{\text{year}}^{\text{year}} \dot{Q}_A + dt}{\int_{\text{year}}^{\text{year}} \dot{Q}_i + dt} \quad \dots \dots \dots (6)$$

여기서 t 는 양의 값만이 고려됨을 나타낸다.

single-year simulation이 長期平均性能의 정확한 결과를 나타내도록 증명하기 위하여 Storage의 年間內部에너지 變化가 負荷에 비해서 작다고假定하는 것이 필요하다. 이는 시스템의 動作을 modeling하는 式의 解가 정상상태(Steady-State)의 週期의 解임을 그리고 内部에너지 變化가 負荷의 1% 以內임을 알 수 있다.

이 論文에서는 시스템의 몇 가지 parameter를 變化시켰는데 使用된 대부분의 parameter의 값은 Table 1에 있다. 제외된 것과 추가된 parameter는 적당한 곳에서 具体化되었다. 전물의 全体損失係數 $(UA)_L$ 와 capacitance cap_L 이 적당한 크기의 斷熱이 잘된 집에 대하여 擇하여졌다.

Table 1. System parameters

Collector

1. Loss Coefficient - U_L	2.78 W/m ² ·°K
2. Transmittance-Absorptance Product - $(\tau\alpha)$.75
3. Mass Flow Rate Per Unit Area	50 kg/hr·m ²
4. Efficiency Factor - F'	.95
5. Circulating Fluid	Water
6. Slope	Latitude
7. Relief Valve Temperature	100 °C

Load

1. Overall Loss Conductance - $(UA)_L$	333 W/°K
2. Capacitance - Cap_L	25,000 KJ/°K
3. Minimum Allowable Room Temperature - T_{RL}	18 °C

Load Heat Exchanger

1. Effectiveness - ϵ	0.4
2. Minimum Capacitance Rate - C_{min}	1528 W/°K

3. Minimum Useable Temperature - T_{min}

18 °C

Storage

1. Medium

2. Specific Heat - C_p 4.19 KJ/kg·°K

3. Density - ρ 1000 kg/m³

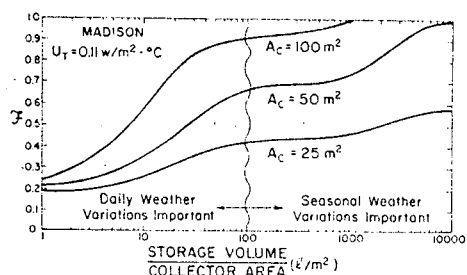


Fig. 2. Performance as a function of storage volume

3. 貯藏體積과 集熱器面積의 効果

3.1 層狀效果

以前의 研究 [10]에서 短期 sensible storage를 가지고 있는 空間暖房시스템은 시스템性能에 미치는 層狀效果가 작음을 보였다. 本研究에서는 層狀效果가 seasonal storage 空間暖房시스템에서도 그다지 중요하지 않음이 밝혀졌다. Madison의 seasonal storage 시스템에서도 탱크의 node 수를 1 ~ 40 까지 變化시켰는데 年中 太陽熱利用率은 2 % 以內의 變化를 보였다. 탱크斷熱의 量도 이 결과에 영향을 끼치지 못한다. 第 2 章에서 설명한 multi node 탱크 모델에서 최대의 層狀모양을 갖는것이 가능하다.

이 model을 利用한結果는 層狀의 seasonal storage를 가지고 있는 시스템의 性能에 무시할 수 있을 정도의 영향을 미치고 있다는 것을 나타내고 있다. 그러므로 sensible storage를 포함하는 모든 研究에 완전히 혼합된 탱크로 假定했다.

3.2 貯藏體積의 함수로서의 性能

太陽에 너지를 利用할 때 貯藏量의 重要은 負荷의 分포와 순간적인 太陽熱 복사량에 려 있다. 空間暖房시스템에서는 하루의 分포도 계절적 分포도가 있다. 그림 2는 Madison의 房空間시스템에 대해서 각각 다른 세 가지의 集器面積에 따라 물의 貯藏體積 V_T 의 영향을 타내고 있다. 처음에는 에너지가 밤이나 흐린에 使用될 수 있기 때문에 貯藏能力의增加에 따라 시스템의 性能이 급속히 향상되었다.

100 l/m³ 이상에서는 貯藏能力이 일교차의 향을 감소시키는데 충분하다. storage가 더욱增加함에 따라 여름에 蓄積해 놓은 에너지가 을이나 겨울暖房에 利用되므로 性能의 向上은 만하다. 氣候의 일교차를 없앨 수 있는데 필한 이상의 貯藏體積에서 2次의 크기의 增加 계절적 效果를 완화시키기 위해 필요하다. 貯藏能力이 貯藏된 물의 沸騰에 의해 에너지의 損이 일어나지 않는다는 假定을 충분히 만족시킬 性能은 어느정도 穎일해진다.(이러한 상태는 $A = 100 m^2$ 에서는 결코 일어나지 않는다.)

이러한 점에서 볼때 탱크溫度는 一年을 周期로 거의 sine曲線과 같은 變化를 하며 크기·안전밸브溫度와 최소 供給溫度사이의 차이보다 작다. 貯藏體積이 더욱增加한다면 太陽熱에 의해 생긴 계절적 負荷率은 결국은 減少할 것이다. 貯藏量이 無限帶에 接近함에 따라 0에 가까워진다.

이는 体積의 增加에 따라 表面積의 增加와 함께 一定 斷熱두께라는 假定에 기인된다. 그러나 斷熱두께 대신에 탱크로부터 전도熱損失(UA)을 一定하게 한다면 貯藏體積의 增加에 따라 시스템性能은 最大點에 도달할 것이다. 貯藏量이 無限帶로 接近함에 따라 $(UA)_T$ 가 有限인 狀態에서 storage溫度는 一定해지며 주어진 氣候狀態와 시스템 parameter에 대하여 最大의 시스템性能이 된다. 空間暖房과 家庭用 温水加熱이 같이 並行되는 것이 보통이다.

이結合된 시스템性能의 貯藏能力에의 依存度 空間과 물을 加熱하는데 必要한 負荷의 相對 인 크기에 관계된다. 대부분의 물에 의한 暖負荷는 계절에 따른 큰 變化가 없다.

結論的으로 結合된 system의 경우가 空間暖만을 위한 시스템보다 계절적으로 더욱 均一負荷분포를 갖는다. 温水暖房負荷가 全體負에 비하여 작을 경우에 대해 계절적인 氣候變의 效果를 줄임에 의해 seasonal storage가 시스템性能을 크게 向上시킬 수 있다. 물의 暖房荷가 全體負荷의 큰 부분을 차지하는 경우는 절에 따른 負荷變化가 減少되며 큰 貯藏能力의 시스템性能을 크게 向上시키지는 못한다. 暖房과 水加熱이 혼합된 seasonal storage는 물의 暖負荷가 全體負荷의 작은 부분을 차지할 때만 미가 있다. 이는 북반구의 추운 날씨의 경우 해당될 것이다.

3.3 集熱器面積과 貯藏体積間의 關係

그림 3은 集熱器面積과 貯藏体積에 따른 空間暖房시스템의性能을 나타낸다. “Ideal” 無限한 热容量 (capacitance)으로서 고려다. ($(UA)_T$)는 有限이다. 그림 3에서 보 바와같이 集熱器面積이 增加함에 따라 시스템性能의 storage capacitance에의 依存度는 增한다. 集熱器面積이 작을 경우 주택의 capacitance cap_L 는 畫面負荷의 초과로 蓄積된 能力에 대한 충분한 storage를 提供할 수 있다.性能은 集熱器面積에 대한 貯藏体積의 비가 클 경우 集熱器面積에 더욱 크게 依存한다. 集熱器面積이나 貯藏能力이 增加함에 따라 集熱器面積에의 負荷에 의해 使用된 量間의 더욱 큰 移動을 收用한다. 그림 3에 나타난 結果를 른 면에서 관찰하면 集熱器面積과 固定된 年比率을 위해 必要한 貯藏体積間의 關係를 研하는 것이다.

어느 特定한 시스템性能을 얻기 위해 必要한 集熱器面積의 현저한 減少는 貯藏能力을 크게 함

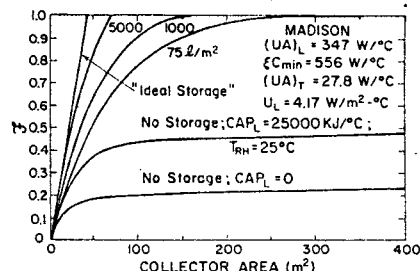


Fig.3. Performance as a function of collector area and storage volume

으로써 이루어질 수 있다. storage增加에 따른 集熱器面積의 더욱 큰 減少는 더 높은 solar fraction을 일으킨다. 높은 solar fraction은 太陽熱시스템이 最惡의 負荷와 集熱狀態에서 좀 더 자주 負荷와直面하게 되기를 要求한다. 이것은 太陽에너지가 작게 얻어지는 동안에도 높은 냉각温度가 유지되어야 한다는 것을 의미한다. 短期貯藏은 相對적으로 큰 集熱器面積이 없는 한 이런 狀態를 보장하기에 불충분하다. 이것은 無限한 貯藏의 경우 集熱器面積에 대한 集熱器面積比가 固定된 시스템性能을 위한 集熱器面積과 貯藏体積의 關係는 位置에 따라 달라진다. 이러한 것은 無限한 storage에 相應하는 集熱器暖房負荷의 95%를 供給하는 시스템의 여러 位置에 대한 單位 集熱器面積當 貯藏体積이 그려진 그림 4에 나타나 있다. 貯藏能力의 增加에 따른 必要한 集熱面積의 더욱 큰 減少는 북반구에서 일어난다.

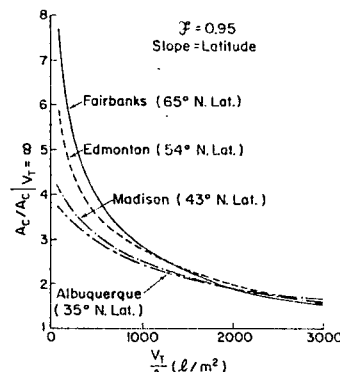


Fig.4. Location dependence of the tradeoffs between collector area and storage volume

이것은 有用한 太陽에너지와 負荷와의 더욱 큰
계절적인 差異와의 結果이다. 위도가 더욱 큰 경
우 表面에서 일어나는 全體 年間 太陽복사의 더
욱 큰 部分은 여름철에 일어나고 總負荷의 작은
部分은 겨울에 일어난다. storage는 供給과 負
荷間의 差異를 연결하는데 대단히 重要하다. 이
러한 結果는 負荷의 큰 部分이 太陽熱 시스템에
의해 附加될 때 북반구에 seasonal storage가 가
장 적합함을 나타낸다. 이 結論은 適用되는 裝
置의 크기에 無關한다.

4. Seasonal Storage 시스템의 설계

太陽熱 暖房시스템의 長期性能을 계산할 때는 경제성을 고려하는 것이 必要하다. 경제적으로 최적 상태인 太陽에너지 시스템은 설계상의 기술적 계산만으로는 결정될 수 없다. Peter Lunde [11] 가 매월 性能을 예측하기 위하여 시스템 Parameter 에 따른, 미리 과정이 결정된 특정 위치의 data에 따라 seasonal storage 시스템의 설계방법을 제시하였다.

임의의 위치에 대해서長期性能을 예측하는 데는 최소한 일년동안 매시간마다의 data를 미리 결정하는 것이 필요하다. 더구나 그 절차는 storage와負荷間의 한정된熱交換器의 영향을 포함하지 않는다. 가장 최근에 seasonal storage를 이용하는 시스템을 해석하는데 단지 2개월마다의 자료만이 요구되는 설계절차가 발표되었다.[12] 그러나 이 방법 역시 storage와暖房空間 사이의 한정된熱交換器의 영향이 고려되지 않고 있다. 이 章에서는 시스템性能을 예측하는데 오직 한달의 기후 입력자료와 중요한 시스템 parameter(熱交換器의 크기 포함)만을 필요로 하는 간단한 설계방법이 제시되고 있다. 이 방법에 의한 결과가集熱器面積에 대한貯藏体積의比가 $200\ell/m^2$ 이 넘는 경우에 대한 TRNSYS simulation에 의한 결과와 잘 일치함이 나타나고 있다. 그러므로 이 설계방법은 시

스템 설계에 있어서 热交換器의 크기, 탱크의
熱, 集熱器의 경사, 그리고 年間기후변화 등
중요성을 연구 하는데 사용되고 있다.

4.1 Sensible Storage 시스템의 설계방법

그림 1의 空間暖房 시스템의 貯藏탱크는 매월 에너지 평형식은 다음과 같다.

$$\Delta U = Q_U - Q_{LS} - Q_S \quad \dots \dots \dots (1)$$

여기서, ΔU 는 storage의 内部 에너지 변화이다. 1 달을 기준으로 system性能을 예측하기 위하여 式(7)의 각 항과 負荷는 알려진 변수로 기후자료, 초기조건의 항으로 표시되어야 한다. 集熱器로부터 1 달간 얻어진 유용에너지의 단위로 계산된다.

$$Q_{II} = A_C \cdot \bar{h}_B \cdot \bar{H}_T(\varepsilon\alpha) N \bar{\phi} \quad \dots \dots \dots \quad (1)$$

여기서 \bar{H}_T 는 集熱器 표면에서 매일 복사되는 한 달 평균 복사량 [13]이고 ($\bar{\tau}\alpha$)는 한 달 평균 透過率과 吸收率의 곱 [14], N 는 한 달 동안의 날 (day) 수이며, 그리고 $\bar{\vartheta}$ 는 한 달간 集熱器 표면에 의해 吸收된 총 복사에너지의 fraction이다. $\bar{\vartheta}$ 는 固定限界 level, 통계적 기후인자 集熱器 形狀의 합수로 나타난다 [15, 16].

또한, $\overline{\phi}$ 는 Liu와 Jordan [17]의 매시간 Δ 의 ϕ 로부터 결정될 수 있고, 실제 기후자료에 매시간 분석에 의해서도 가능하다. $\overline{\phi}$ 관계는 한 달의 예산을 위해 하나의 임계복사 기준의 體化가 필요하다. 小形貯藏 容量의 경우는 温度 변화가 긴 기간동안 (즉, 주, 달, 계절)에 걸쳐 분포되므로 임계수준은 거의 一定해진다. 이를 계산하는데 사용되는 월간평균임계수준은 다음과 같은 계산된다.

$$I_C = \frac{F_R U_L (\bar{T}_T - \bar{T}_{da})}{F_p (\bar{\tau} \alpha)} \quad \dots \dots \dots (6)$$

여기서, \bar{T}_T 는 월간탱크평균온도이고, \bar{T}_{da} 는 월각평균 날씨온도이다.

또한 storage에서의 에너지 손실은 다음과 같이 계산된다.

여기서, Δt 는 월별 시간의 길이이다. storage로부터 負荷에 공급되는 에너지는 負荷와 에지 양의 최소치로 가정하고 그 에너지는 熱交器가 한 달내내 가동될 때 공급될 수 있다. 그 끝에,

월간 총 空間暖房負荷 Q_L 은 $(UA)_L$ 과 한 달간의 degree day 의 數의 곱으로 계산된다.
 단평균탱크溫度 (\bar{T}_T) 는 월간溫度의 시작과의 평균 값으로 가정된다.

여기서, T_I 와 T_F 는 매월 시작과 끝의 탱크
용량이다.

앞서, 式(7)에서 定義된 storage의 内部에 너지의 변화는 다음과 같이 주어진다.

여기서 cap_S 는 貯藏物質의 capacitance 이다.
 제 式(7)의 각 항은 시스템 parameter 기후
 력자료 처음과 마지막 storage 温度의 항으로
 義된다. 만약 처음의 温度를 안다면 마지막 温
 는 결정될 수 있다. 임의의 어떤 달의 설계과
 은 다음과 같다.

(1) 달초의 처음 탱크温度 (T_1) 가 주어지 T_F 를 가정한다.

(2) $\bar{T}_T = (T_I + T_F) / 2$ 를 계산한다.

(3) 월간 기후자료, 시스템 parameter, \bar{T}_T 의
으로 ϕ , Q_U , Q_{LS} , Q_S 를 결정한다.

(4) 월간 에너지 평형式으로부터 새로운 T_F 계산한다.

$$T_F = (Q_U - Q_{LS} - Q_S) / \text{cap}_S + T_I$$

(5) T_F 가 수렴될 때까지 과정 (2)~(4)를 복한다. 만일, 반복과정에 의해 산출된 마지막 T_F 가 최소 사용온도 T_{min} 보다 작거나, 안전밸브 온도 T_B 보다 크면 부수적인 단계가 더 필요하다.

(6) 막약.

① $T_F < T_{min}$ 일 때

$$T_F \equiv T_{\text{spin}}$$

\bar{T}_T , ΔU , Q_U , Q_{LS} 를 다시 계산한다.

$$Q_S = Q_U - Q_{LS} - \Delta U$$

② $T_F > T_R$ 일 때

$$T_F = T_B$$

\bar{T}_T , ΔU , Q_U , Q_{LS} , Q_S 를 다시 계산한다.

$$Q_B = Q_U - Q_{LS} - Q_S - \Delta U$$

年間 분석을 할때 초기 탱크温度가 가정되어야 한다. 暖房 계절의 끝에서 시작하는 것이 편리하다. 그 달의 맨 나중 temperature를 그 다음 달의 초기 temperature로 하여 (1) ~ (6) 단계를 수행한다. 이 과정을 年間 초기 temperature 와 최종 temperature 가 대략 같아질 때까지 반복 하는데, 보통 2 cycle 정도이면 충분하다. 부록에 이 설계과정의 예가 주어져 있다. 매달性能을 계산하는데 있어서 탱크의 temperature 변화가 매일의 기후조건에 크게 관계되지 않는 storage 크기의 경우에는 평균임계 기준을 사용하는 것이 합리적이다. 이 설계방법은 몇 일 동안 혹은 seasonal storage 에 이르는 범위의 storage capacity 에 대하여 적용할 수 있다.

그림 5에 Madison에 있는 貯藏体積의 크기에 대한 이 설계방법과 TRNSYS에 의한 결과가 비교되었다. 集熱器 이용의 매달 평균이 [15]에서 요약된 바와 같이 결정되었다. 이 설계방법과 TRNSYS 값이 달라지기 시작하는 集熱器面積에 대한 貯藏体積의 比는 集熱器面積 50 m^2 일 때가 25 m^2 나 100 m^2 일 때보다 다소 작다. 面積이 큰 경우에 텁크溫度 변화가 복사의 日較差에 더 크게 관련되어 있으며, 面積이 작은 경우(즉, 面積에 대한 体積比가 一定하며 이 때

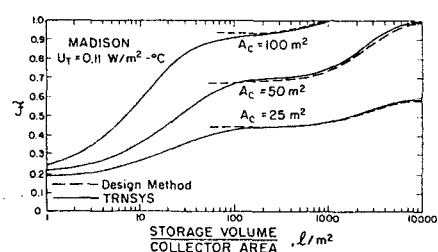


Fig. 5. Comparison of TRNSYS and design method results in Madison, Wisconsin

体積이 작을 경우)는 storage 温度 변화가 負荷변화에 더욱 크게 영향을 받는다. 이 설계 방법이 합리적인 값을 나타내는 貯藏体積과 集熱器面積의 比는 시스템의 모든 parameter와 기후조건의 관계에 따라 달라진다. 일반적으로 이러한 방법은 storage capacity가 200 l/m^2 보다 클 때 정확하다. 이것은 Madison, Albuquerque, Seattle에 대해서 集熱器面積에 대한 貯藏体積의 比로서 그림 6에 설명되어 있다.

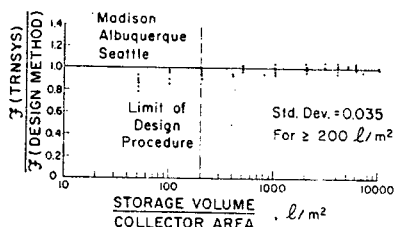


Fig. 6. Comparison of TRNSYS and design method results for three locations.

이들 세 지역은 이 설계방법의 사용이 그럴듯한 기후의 영역을 나타낸다. 面積에 대한 体積의 比가 200 l/m^2 보다 큰 경우 solar fraction S.D가 3.5%이다.

4.2 負荷 热交換器와 탱크斷熱의 중요성

설계가 잘된 seasonal storage의 空間暖房시스템에서는 負荷에 공급되는 에너지가 storage로부터 손실되는 에너지보다 커야 한다. 따라서 storage loss conductance $[(\text{UA})_T]$ 에 대한 負荷 热交換器 conductance (ϵC_{\min})의 比가 커야만 한다. Seasonal storage system의 性能에 대한 $\epsilon C_{\min}/(\text{UA})_T$ 의 영향에 의한 일반적인 결과가 그림 7에 나타나 있다. ϵC_{\min} 과 $(\text{UA})_T$ 는 독립적으로 $0.4 < \epsilon C_{\min}/(\text{UA})_T < 2$ 의 범위에서 변화했다. 시스템 性能에 대한 $\epsilon C_{\min}/(\text{UA})_T$ 의 영향에 의한 거의 유일한 관계는 集熱器와 storage 效率 사이의 상호작용의 결과로서 일어난다. $\epsilon C_{\min}/(\text{UA})_T$ 가 固定된 값일 경우 ϵC_{\min} 과 $(\text{UA})_T$ 의 작은 값은 높은 storage 温度를 발생시키며 상대적으로

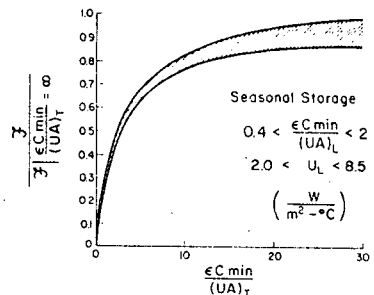


Fig. 7. A general result for the dependence of system performance on $\epsilon C_{\min}/(\text{UA})_T$

낮은 集熱效率을 발생시킨다. 그러나 storage 效率은 좋아진다. ϵC_{\min} 과 $(\text{UA})_T$ 가 클 경우 storage 温度는 낮아지며 集熱器의 效率은 좋아지나, 그러나 storage 效率은 나빠진다. 전형적인 板形 集熱器의 경우 균일한 시스템 效率을 내기 하여 $\epsilon C_{\min}/(\text{UA})_T$ 를 固定시키고 ϵC_{\min} 과 $(\text{UA})_T$ 를 변화시킬 때 각각의 效率間に 어떠한 계가 발생한다.

흡수된 에너지와 거의 같은 정도가 ϵC_{\min} 과 $(\text{UA})_T$ 의 각각의 값에 관계없이 $\epsilon C_{\min}/(\text{UA})_T$ 의 특정한 값에 대하여 손실된다. 단지 집 C와 storage 사이의 상호관계가 변한다. 시스템 性의 $\epsilon C_{\min}/(\text{UA})_T$ 와의 유일한 관계로부터 차는 集熱器의 效率이 클 때 더욱 심하다. 그림 7에서 알 수 있는 하나의 결론은 $\epsilon C_{\min}/(\text{UA})_T$ 값이 20보다 클 때는 시스템 性能이 크게 향상되지 않고, 최대로 가능한 年間 太陽에너지 부분이의 90%가 ($\epsilon C_{\min}/(\text{UA})_T = \infty$ 일 때) $\epsilon C_{\min}/(\text{UA})_T$ 의 값이 20 일 때 도달된다. 이것은 좋은 热效率를 얻기 위해 필요한 負荷 热交換器의 크기 탱크의 斷熱 정도를 측정하는 눈대중 방법으로 유용하다. 이 결론은 $\epsilon C_{\min}/(\text{UA})_T$ 가 0.4~인 범위에 한정된다. $\epsilon C_{\min}/(\text{UA})_T$ 의 실제도 일반적으로 이 범위내에 있다.

그림 7로부터 얻는 또 하나의 결론은 20보다 $\epsilon C_{\min}/(\text{UA})_T$ 에 대해서, 지면에서 정상상 (Steady-State) 热流動의 가정은 시스템의

큰 영향을 미치지 못한다. 이 상태에서의 온 storage로부터 손실율의 변화에 민감하지 않하다. 탱크의 断熱은 최악의 경우 유효지断熱 $(UA)_T$ 와 $\epsilon C_{min}/(UA)_T$ 에 대한 性 변화율이 작도록 정해져야 한다.

.3 최적 集熱器 경사

재래식 크기의 storage에 대해서 暖房계 동안에 최대의 集熱量을 위해서 集熱器가 위치 약 $10 \sim 15^\circ$ 더 경사져야 한다.[18] seasonal storage는 集熱器 표면의 年間 총 복 향을 최대로 하도록 최적경사를 변화 시킴으로서 集熱에너지와 使用되는 에너지 사이의 더 큰 phase shift를 허용한다. 이것은 그림 8과 Madison (43° N, 위도)에서의 재래식 storage와 seasonal storage의 시스템 성능에 있는 集熱器 경사의 영향을 비교함으로써 설

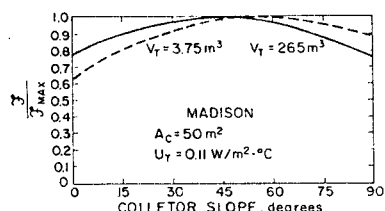


Fig. 8. Comparison of optimum collector slopes for short-term and long-term storage.

그다. seasonal storage 시스템에 대한 최적 경사는 위도와 대략 같으며, 반면에 短期貯藏에 대한 최적치는 약 (위도 + 15°)이다. 다른 지역에서도 seasonal storage에 대하여 비슷한 결과 나타났다. 일반적으로 seasonal storage를 空間暖房 시스템의 최적 集熱器 경사는 대체 위도와 같다.

4.4 시스템 설계에서 기후의 年변화의 영향

空閒暖房 시스템을 설계하는데 있어서 중요한 점은 長期 시스템의 성능을 예측하는 것이다. 재래식 크기의 storage에 대해서는 以前의 [2]로부터 다음의 사실을 알 수 있다. 유용 자료들로부터 선택된, 최고의 평균달로 구성

된 설계년도로부터 長期的 性能에 가까운 값을 낼 수 있었다. 그러나 매년 에너지가 충분한 것이 중요하기 때문에 seasonal storage에 대해서도 마찬가지라는 것을 입증하는 것이 중요하다. 그림 9는 TMY (typical meteorological year) 기간동안 暖房負荷의 91.5 %를 공급하는 시스템에 대한 21년 동안의 에너지量을 그린 것이다.

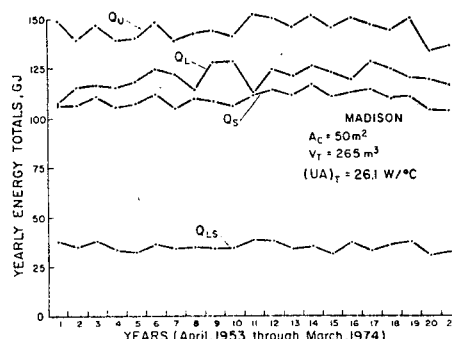


Fig. 9. Yearly energy totals for a seasonal storage system in Madison for 21yr.

그림 9에서 Q_L 에 대한 Q_S 의 比率, 太陽에 의해 공급된 負荷의 年間 fraction은 최대 0.99에서 최소 0.82로 변한다. 21年間의 Solar fraction은 0.917이다. 따라서 TMY 자료는 이 시스템의 長期 평균性能을 예측하는데 대단히 적합하다는 것이 입증된다. seasonal storage는 補助暖房의 필요없이 100% 太陽熱로 暖房하는 하나의 수단이다. 이를 위해서 太陽熱 시스템은 설계년도 분석과 평균기후 조건에서 사용되도록 설계되어야 함은 물론 그것의 사용기간중에 발생하는 최악의 조건에 대해서도 설계되어야 한다.

그림 9에 나타난 바와 같이 TMY 자료는 연간 기후변화까지 포함하지는 못한다. 그러므로 이러한 기후변화에 대해서는 100% 太陽熱 暖房을 보장하기 위해서는 시스템을 설계년도 분석을 해서 결정한 것보다 조금 크게 설계해야 한다. 年度의 최악의 기후에 대한 중요한 매년 모든剩餘效果를 무시하는 가능성을 排除할 수 없다.

그림 10은 TMY, Madison의 21년 최악의 해를 이용해서 결정된 100% 太陽熱 暖房을 보장하는데 필요한 과소평가를 한다. 설계년도와 21년에 대한 차이는 storage 容量이 작은 경우에 크다. 큰 容量에 대해서는 매년 性能변화의 감쇄가 일어나고(즉, 최적년도에서 최악년도로의 큰 每剩餘分), 21년 자료에 의한 설계는 하나의 설계년도 분석에 接近한다. 특히 Madison의 기후기록에 대해서는 최악년도 분석이 적당한 설계방법이다. 만약 100% 太陽熱 暖房이 목적이라면 몇년간의 자료나 최악년도에 의한 신중한 분석이 적당하다.

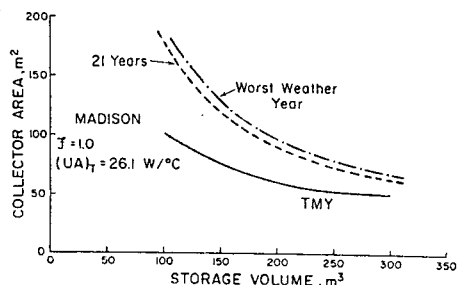


Fig.10. Comparison of collector area and storage volume requirements for 100 per cent solar heating using a design-year, 21-yr, and worst-year analysis

5. 結論

특정한 시스템 性能을 위한 集熱器 面積의 큰 감소는 seasonal storage를 이용하여 이루어진다. 더욱 큰 감소는 북반구에서 일어나며, 負荷의 대부분이 太陽熱 시스템에 의해 공급된다.

Seasonal Sensible Storage 시스템의 설계는 이 論文에 요약된 설계방법을 사용하여 성취될 수 있다. 이 방법은 集熱器 面積에 대한 물의 貯藏体積의 比가 $200 \ell/m^2$ 보다 클 때 적용 가능하다. 費用에 따른 이 방법은 seasonal storage 시스템의 경제성을 연구하는데 使用된다.

이 論文에서 연구한 중요한 설계인자는 負荷熱交換器의 크기, 탱크斷熱, 集熱器, 경사, 매년 기후변화 조건의 영향이다. 热交換器 conduct-

ance(ϵC_{min})과 storage 탱크 열손실에 대비 conductance의 比는 가능한 90%의 性能($\epsilon C_{min} / (UA)_T = \infty$ 일 때)을 얻기 위해 20% 더 큰 것이 적당하다.

Seasonal Storage 시스템의 최적 集熱器는 대략 위도와 일치한다. 暖房負荷의 100%보다 작게 공급하기 위한 seasonal storage에 대해서는 1년의 설계년도가 長期 평균性能을 충족하는데 사용되는 것이 좋다. 100% 太陽熱 暖房을 위해서는 貯藏容量이 포함된 매년 모든 每剩餘分을 허용할 만큼 충분히 크지 않다면, 1년의 설계년도를 사용해서 결정된 설계조건은 부적다. 만약, 100% 太陽熱 暖房이 목적이라면 몇년의 자료나 최악년도의 자료를 사용하는 신중한 해석이 꼭 필요하다.

NOMENCLATURE

A_C	: 集熱器 面積
cap_L	: 單一 效果的 建物 capacitance
cap_S	: 貯藏 capacitance
C_{min}	: 負荷 热交換器에 對한 最少 capacitance 率
T	: 太陽熱에 依한 年間 擔當負荷比率
F_R	: 集熱器 热除去效率係數
H_T	: 集熱器 表面에 每日 複寫되는 한달 平均 複寫量
H	: 水平面에 每日 複寫되는 한달 平均 複寫量
I_c	: 臨界複寫水準
I_T	: 集熱器 表面에 複寫되는 瞬間 複寫量
Q_A	: 補助에 너지
Q_B	: 에너지 boil-off
Q_L	: 負荷率
Q_{LS}	: storage 로부터 에너지 損失
Q_S	: storage 로부터 暖房空間에의 에너지 供給量
Q_U	: 集熱된 에너지

金 鍾 輔

τ_a	: 時間
T_a	: 大氣溫度
T_B	: 安全限溫度
T_{da}	: 한달 평균 낮의 大氣溫度
T_F	: 한달 맨 마지막 storage 溫度
T_h	: 負荷 热交換器로 들어가는 動作物質 의 溫度
T_i	: 集熱器 入口溫度
T_I	: 한달 처음의 storage 溫度
T_{min}	: 最少使用 storage 溫度
T_R	: 室內溫度
T_{RL}	: 最少許用 室內溫度
T_{RH}	: 最大許用 室內溫度
T_T	: 한달 平均 storage 溫度
T_s	: 地面 sink 溫度
$(UA)_L$: 建物에서 热損失에 對한 conductance
$(UA)_T$: storage 에서 热損失에 對한 conductance
J_L	: 集熱器 損失係數
J_T	: 냉크損失係數
V_T	: 貯藏体積
ΔU	: 한달 storage 의 內部에너지 變化
ϵ	: 热交換器 效率
\bar{S}	: 한달 平均 集熱器 利用度
$(\tau\alpha)$: 透過率-吸收率의 곱
\cdot	: 에너지率(energy rate)을 나타내는 기호

REFERENCES

1. E. Speyer, Optimum storage of heat with a solar house. *Solar Energy* 3(4), 24(1959)
2. S.A. Klein et al., A design procedure for solar heating systems. *Solar Energy* 18, 113 (1976)
3. S.A.Klein and W.A. Beckman, A general design method for closed-loop for energy systems. *Solar Energy* 22, 269(1979)
4. J.D. Balcomb and J.C. Hedstrom, A simplified method for sizing a solar collector array for space heating. Paper LAUR-76-160, Los Alamos Scientific Laboratory(1976)
5. SOLCOST, 1977, Solar hot water handbook, A simplified design method for sizing and costing residential and commercial solar hot water systems. ERDA, Rep. No. DSE-2531/2.
6. TRNSYS - A Transient Simulation Program, Engineering Experiment Station, Rep.38, Solar Energy Laboratory, Univ. of Wisconsin-Madison.
7. H.C. Hottel and B.B. Woertz, Performance of flat-plate solar heat collectors. *Trans. ASME* 64, 91(1942)
8. J.E. Braun, Seasonal storage of energy in solar heating. M.S. Thesis, University of Wisconsin-Madison(1980).
9. W.Kays and A.L.London, *Compact Heat Exchangers*. McGraw-Hill, New York(1964).
10. S. A. Klein, A design procedure for solar heating systems. Ph. D. Thesis, University of Wisconsin-Madison, (1976).
11. P. J. Lunde, Prediction of the performance of solar heating systems utilizing annual storage. *Solar Energy* 22, 69(1979).
12. F. Baylin and S. Sillman, Systems analysis techniques for annual cycle thermal energy storage solar systems. Paper SERI/RR-721-676, Solar Energy Research Institute(1980).
13. S.A.Klein, Calculation of monthly average insulation on tilted surfaces.

- Solar Energy 19, 325 (1977).
14. S.A.Klein, Calculation of the monthly average transmittance-absorptance product. Solar Energy (1981).
15. S.A.Klein, Calculation of flat-plate collector utilization. Solar Energy 22, 393 (1978).
16. M.Collares-Pereira and A.Rabl, Simple procedure for predicting long-term average performance of nonconcentrating and of concentrating solar collectors. Solar Energy 23, 235 (1979).
17. B.Y.H.Liu and R.C.Jordan, The long-term average performance of flat-plate solar energy collectors. Solar Energy 7, 53 (1963).
18. G.O.G.Lof and R.A.Tybout, Cost of house heating with solar energy. Solar Energy 14, 253 (1973).

APPENDIX (附錄)

Section 4.1에서 要約된 設計 절차의 例로서 Madison에 있는 seasonal sensible storage system의 性能이 2월달(February)에 대하여 決定한다.

그 system parameter는 Table 1에 있고 아래와 같다.

$$A_c = 50 \text{ m}^2$$

$$V_T = 250 \text{ m}^3$$

$$\epsilon C_{min} = 556 \text{ W/K}$$

$$(UA)_T = 27.8 \text{ W/K}$$

$$(UA)_L = 347 \text{ W/K}$$

$$T_{SINK} = 8.25^\circ\text{C}$$

2월달의 全體 degree days (DD), 水平面의 入斜複寫(F), 平均 낮 大氣溫度는

$$DD = 663^\circ\text{C days}$$

$$\bar{H} = 9.43 \text{ MJ/day-m}^2$$

$$\bar{T}_{da} = -4.2^\circ\text{C}$$

$$T_I = 27.9^\circ\text{C}$$

\bar{H}_T 는 [13]에 要約된 것처럼 決定된다.

이 예제의 條件에 대하여

$$\bar{H}_T = 14.9 \text{ MJ/day-m}^2$$

한달 맨 마지막 storage 温度를 26°C 로 假定한다면 平均溫度는

$$\bar{T}_T = (T_I + T_F)/2 = 27^\circ\text{C}$$

集熱器의 한달 有用한 에너지는 다음과 같아 計算된다.

$$(1) I_c = \frac{U_L (\bar{T}_T - \bar{T}_{da})}{(\tau\alpha)} = 116 \text{ W/m}^2$$

(2) Ref. [15]와 이 예제의 條件을 使用하여 $\bar{\phi} = 0.744$

$$(3) Q_U = A_c F_R (\tau\alpha) \bar{H}_T \bar{\phi} N \\ = (50 \text{ m}^2) (0.93) (0.75) (14.9 \text{ MJ/day-m}^2) (0.744) (28 \text{ days}) \\ = 10.82 \text{ GJ}$$

空間暖房負荷는

$$Q_L = (UA)_L DD \Delta t \\ = 19.89 \text{ GJ}$$

Storage로부터 에너지의 負荷로의 損失과 由給된 에너지는

$$Q_{LS} = (UA)_T (\bar{T}_T - T_S) \Delta t \\ = 1.26 \text{ GJ}$$

$$Q_S = \min (\epsilon C_{min} (\bar{T}_T - T_R) \Delta t, Q_L) \\ = 12.10 \text{ GJ}$$

Storage의 內部 에너지 變化는

$$\Delta U = Q_U - Q_S - Q_{LS} \\ = 10.82 \text{ GJ} - 12.10 \text{ GJ} - 1.26 \text{ GJ} \\ = -2.54 \text{ GJ}$$

最終 storage 温度에 대한 新로운 假定은

$$T_F = \Delta U / caps + T_I \\ = -2.54 \text{ GJ} / (1.05 \text{ GJ}/^\circ\text{C}) + 27.9^\circ\text{C} = 25.5^\circ\text{C}$$

만약 新로운 T_F 의 值으로 過程이 反複된다.

25.8°C 로 最終 温度가 決定되고 아무런 附加

金 鍾 輔

關係가 必要하지 않다. 이 달에 대하여 太陽
의 擔當된 負荷比率은

$$T = \frac{Q_s}{Q_L} = 0.59$$

年 分析할 때 그 달의 끝 storage 温度가 다

음 달의 처음 温度로서 使用된다. 이러한 設計
過程은 年間 初期 温度와 最終 温度가 대략 같아
질 때까지 必要에 따라 여러 cycle 을 反複한다
Table A1 은 일년동안의 이 예제에 system 에
대한 結果들을 말해 주고 있다.

Table A1. Results of a yearly analysis for sensible storage

	\bar{H} (KJ/day $-m^2$)	\bar{H} (KJ/day $-m^2$)	DD ($^{\circ}\text{C}$ days)	\bar{T}_{da} ($^{\circ}\text{C}$)	T_l ($^{\circ}\text{C}$)	$\bar{\phi}$	Q_u (GJ)	Q_s (GJ)	Q_{LS} (GJ)	ΔU (GJ)	Q_L (GJ)	F
March	13.48	17.25	571	1.3	25.8	.81	15.0	12.4	1.34	1.26	17.1	.72
April	16.87	17.54	354	8.7	26.8	.84	15.3	10.6	1.45	3.25	10.6	1.00
May	20.10	18.09	151	17.0	30.0	.85	16.7	4.5	1.98	10.22	4.5	1.00
June	24.77	21.09	29	24.7	39.6	.84	18.5	.9	2.77	14.83	.9	1.00
July	21.48	18.69	11	25.2	54.0	.73	14.9	.3	3.77	10.83	.3	1.00
August	19.74	19.35	30	22.8	64.0	.67	14.0	.9	4.46	8.64	.9	1.00
September	15.47	18.25	128	17.3	72.6	.60	11.4	3.8	4.72	2.88	3.8	1.00
October	10.13	14.69	235	13.4	75.0	.54	8.5	7.1	4.86	-3.46	7.1	1.00
November	6.30	11.03	452	5.0	72.0	.48	5.5	13.5	4.16	-12.16	13.5	1.00
December	5.16	10.22	661	-2.1	60.2	.51	5.7	19.8	3.25	-17.35	19.8	1.00
January	6.32	12.07	763	-5.1	43.6	.64	8.4	22.9	2.04	-16.54	22.9	1.00
February	9.43	14.90	663	-4.2	27.9	.75	10.9	11.8	1.24	-2.14	19.9	.59